

NICHTGLEICHGEWICHT: ZUM PROBLEM DER WÄRMELEITUNG

Motivation:

- 1) In der "Begründung der Thermodynamik aus der Quantenmechanik" wird ein statischer Ansatz verwendet, um den Gleichgewichtszustand von Quantensystemen zu betrachten. Auf welchem Weg das System jedoch ins Gleichgewicht kommt bleibt zunächst offen. Deshalb soll im Folgenden Dynamik betrachtet werden!
- 2) Innerhalb der Theorie offener Quantensysteme können in der Tat Fälle ins Gleichgewicht beobachtet werden. Man erhält eine vollständig dynamische Beschreibung. Leider sind diese Ansätze auf unendlich große Bilder beschränkt. Insbesondere für Fragen der Wärmeleitung benötigt man jedoch eine Beschreibung für endliche Systeme, wie im Folgenden zu sehen sein wird.
- 3) Des Weiteren wird eine vergrößerte Beschreibung (Coarse Graining) im Oszivacum nötig sein, um diffusives Verhalten aus der Schrödinger-Gleichung zu erhalten. Die mikroskopische Beschreibung bleibt reversibel und kann extremes nichtklassisches Verhalten zeigen. Trotzdem kommt es auf mesoskopischer Ebene zu normalem (standard) Transportverhalten.

Inhalt:

- A) ZERFALL ins GLEICHGEWICHT
- B) WÄRMELEITUNG

A) ZERFALL ins GLEICHGEWICHT:

- 1) Erinnerung an die Quantenthermodynamik: (2. Vorlesungsstern)

Hilbertraum - Mittelwert des Erwartungswertes eines hermitischen Operators \hat{A} :

$$\langle\langle \psi | \hat{A} | \psi \rangle\rangle = \frac{\text{Tr} \{ \hat{A} \}}{n} \quad n: \text{Dimension des Hilberträumes}$$

Erweiterung auf Unterraume (ohne Beweis):

$$\langle\langle \psi | \hat{P}_i \hat{A} \hat{P}_j | \psi \rangle\rangle = \frac{\langle\langle \psi | \hat{P}_i \hat{P}_j | \psi \rangle\rangle}{N_i} \text{Tr}_i \{ \hat{A} \} \quad (1)$$

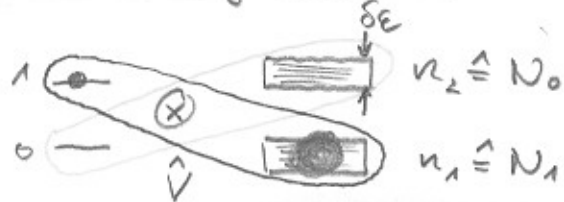
$$\langle\langle \psi | \hat{P}_i \hat{P}_j | \psi \rangle\rangle = \begin{cases} 0, & i \neq j \\ P_i, & i = j \end{cases}$$

$\text{Tr}_i \{ \dots \}$ Teilspur im i -ten Unterraum

N_i Zahl der Niveaus im i -ten Unterraum

Erinnerung an das KANONISCHE GLEICHGEWICHT:

L2

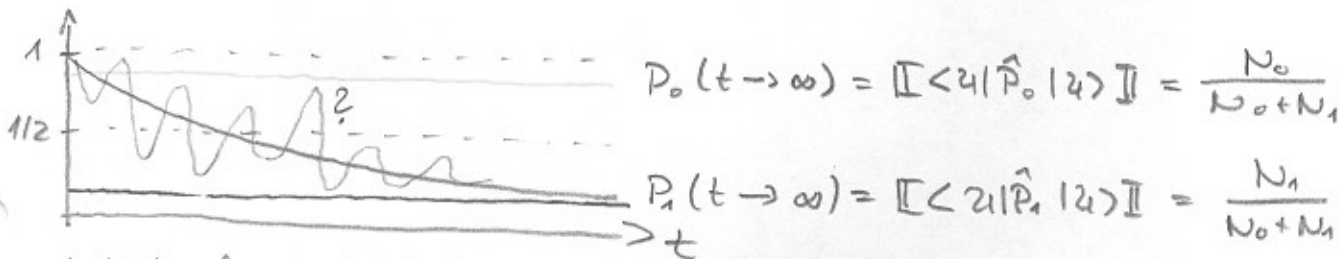


$$\hat{H} = \begin{array}{|c|c|} \hline \cdots & \cdots \\ \hline \cdots & \text{---} \\ \hline \end{array} \quad j \quad k$$

Projektoren auf Unterräume:

$$\hat{P}_0 = \sum_{j=1}^{N_0} |j\rangle \langle j| \quad \Rightarrow \quad \hat{P}_0 = \begin{array}{|c|c|} \hline \cdots & 0 \\ \hline 0 & \cdots \\ \hline 0 & 0 \\ \hline \end{array}$$

$$\hat{P}_1 = \sum_{k=1}^{N_1} |k\rangle \langle k|$$



statistisches Verhalten ist typischerweise durch einen exponentiellen Zerfall ins Gleichgewicht gekennzeichnet.

2) Zeitentwicklung: (siehe Schwabl)

Wechselwirkungsbild: $\hat{H} = \hat{H}_0 + \hat{V} = \begin{array}{|c|c|} \hline \cdots & \cdots \\ \hline \cdots & \cdots \\ \hline \end{array} + \begin{array}{|c|c|} \hline \cdots & \cdots \\ \hline \cdots & \text{---} \\ \hline \end{array}$

$$\hat{V}(t) = e^{i\hat{H}_0 t/\hbar} \hat{V} e^{-i\hat{H}_0 t/\hbar} = \begin{array}{|c|c|} \hline \cdots & \cdots \\ \hline \cdots & \text{---} \\ \hline \end{array} \Rightarrow \text{Erhaltung der Blockstruktur}$$

Zeitabhängige Störungstheorie im Wechselwirkungsbild:

kurze Zeitschritt τ $| \Psi(\tau) \rangle = \underbrace{\hat{D}(\tau)}_{\text{Zeitentwicklungsoperator}} | \Psi(0) \rangle$

Dyson - Entwicklung:

$$\hat{D}(\tau) = \hat{1} - \frac{i}{\hbar} \hat{U}_1(\tau) - \frac{1}{\hbar^2} \hat{U}_2(\tau) + \dots$$

mit $\hat{U}_1(\tau) = \int_0^\tau d\tau' \hat{V}(\tau')$ (hermitischer Operator)

$$\hat{U}_2(\tau) = \int_0^\tau d\tau' \int_0^{\tau'} d\tau'' \hat{V}(\tau') \hat{V}(\tau'')$$

Normerhaltung: $\langle \Psi(\tau) | \Psi(\tau) \rangle = \langle \Psi(0) | \hat{D}^\dagger \hat{D} | \Psi(0) \rangle \stackrel{!}{=} 1$

$$\Rightarrow \hat{D}^\dagger \hat{D} = \hat{1}$$

$$= (\hat{1} + \frac{i}{\hbar} \hat{U}_1(\tau) - \frac{1}{\hbar^2} \hat{U}_2^\dagger(\tau) + \dots)(\hat{1} - \frac{i}{\hbar} \hat{U}_1(\tau) - \frac{1}{\hbar^2} \hat{U}_2(\tau) + \dots)$$

$$= \hat{1} + \frac{1}{\hbar^2} (\hat{U}_1^\dagger - \hat{U}_2^\dagger - \hat{U}_2) + \text{höhere Ordnungen}$$

$$\Rightarrow \boxed{\hat{U}_1^\dagger = \hat{U}_2^\dagger + \hat{U}_2} \quad \textcircled{2}$$

3) Wahrscheinlichkeit in angeregten Niveaus:

$$\hat{P}_1(\tau) = \langle \hat{u}(\tau) | \hat{P}_1 | \hat{u}(\tau) \rangle = \langle \hat{u}(0) | \underbrace{\hat{D}^+ \hat{P}_1 \hat{D}}_{=?} | \hat{u}(0) \rangle \approx [\langle \hat{u}(0) | \hat{D}^+ \hat{P}_1 \hat{D} | \hat{u}(0) \rangle] \quad (3)$$

$$\hat{D}_2^+ \hat{P}_1^2 \hat{D}_2 = \hat{P}_1^2 - \frac{i}{\hbar} (\hat{P}_1^2 \hat{U}_1 - \hat{U}_1 \hat{P}_1^2) - \frac{1}{\hbar^2} (\hat{P}_1^2 \hat{U}_2 - \hat{U}_1 \hat{P}_1^2 \hat{U}_1 + \hat{U}_1^2 \hat{P}_1^2)$$

N.R.

$$\begin{aligned} \hat{V} \hat{P}_1 &= \begin{array}{|c|c|} \hline 0 & w \\ \hline w^+ & 0 \\ \hline \end{array} \begin{array}{|c|c|} \hline 0 & 0 \\ \hline 0 & 1 \\ \hline \end{array} = \begin{array}{|c|c|} \hline 0 & w \\ \hline 0 & 0 \\ \hline \end{array} \quad \left. \begin{array}{l} \hat{V}_1 \hat{P}_1 = \hat{P}_0 \hat{V} \\ \Rightarrow \hat{U}_1 \hat{P}_1 = \hat{P}_0 \hat{U}_1 \end{array} \right\} \\ \hat{P}_0 \hat{V} &= \begin{array}{|c|c|} \hline 1 & 0 \\ \hline 0 & 0 \\ \hline \end{array} \cdot \begin{array}{|c|c|} \hline 0 & w \\ \hline w^+ & 0 \\ \hline \end{array} = \begin{array}{|c|c|} \hline 0 & w \\ \hline 0 & 0 \\ \hline \end{array} \\ \hat{V} \hat{V} &= \begin{array}{|c|c|} \hline 0 & w \\ \hline w^+ & 0 \\ \hline \end{array} \begin{array}{|c|c|} \hline 0 & w \\ \hline w^+ & 0 \\ \hline \end{array} = \begin{array}{|c|c|} \hline ww^+ & 0 \\ \hline 0 & w^+w \\ \hline \end{array} \quad w w^+ + 1 \text{ (müssen nicht übereinstimmen)} \end{aligned}$$

$$(\hat{V} \hat{V}) \hat{P}_1 = \hat{P}_1 (\hat{V} \hat{V}) \Rightarrow \hat{U}_2 \hat{P}_1 = \hat{P}_1 \hat{U}_2$$

$$\Rightarrow \hat{D}_2^+ \hat{P}_1 \hat{D}_2 = \hat{P}_1^2 - \frac{i}{\hbar} (\hat{P}_1 \hat{U}_1 \hat{P}_0 - \hat{P}_0 \hat{U}_1 \hat{P}_1) - \frac{1}{\hbar^2} (\underbrace{\hat{P}_1 \hat{U}_2^2 \hat{P}_1}_{\text{mit } (2)} - \underbrace{\hat{P}_0 \hat{U}_1^2 \hat{P}_0}_{\text{mit } (2)} + \underbrace{\hat{P}_1 \hat{U}_1 \hat{P}_1}_{\leftarrow})$$

4) Hilberträume mit Hilf.: in (3)

$$\begin{aligned} \hat{P}_1(\tau) &\approx [\langle \hat{u}(0) | \hat{D}_2^+ \hat{P}_1 \hat{D}_2 | \hat{u}(0) \rangle]_0 \quad (siehe Formel (1)) \\ &= \underbrace{\langle \hat{u}(0) | \hat{P}_1 | \hat{u}(0) \rangle}_{P_1(0)} - \frac{i}{\hbar} [\langle \hat{u}(0) | (\hat{P}_1 \hat{U}_1 \hat{P}_0 - \hat{P}_0 \hat{U}_1 \hat{P}_1) | \hat{u}(0) \rangle] \\ &\quad - \frac{1}{\hbar^2} [\langle \hat{u}(0) | (\hat{P}_1 \hat{U}_1^2 \hat{P}_1 - \hat{P}_0 \hat{U}_1^2 \hat{P}_0) | \hat{u}(0) \rangle] \quad (4) \end{aligned}$$

Mit (1) $P_1(0) = -$

$$\hat{P}_1(\tau) - P_1(0) = - \frac{1}{\hbar^2} \left(\frac{P_1(0)}{N_1} \operatorname{Tr}_1 \sum U_1^2 - \frac{P_0(0)}{N_0} \operatorname{Tr}_0 \sum U_1^2 \right) \quad (5)$$

5) Fermis Goldene Regel: Was ist $\text{Tr}_1 \{ U_1^2 \} = ?$

14

$$\begin{aligned}
 \text{Tr}_1 \{ U_1^2 \} &= \sum_{k=1}^{N_1} \left\langle k \left| \int_0^\tau d\tau' \hat{V}(\tau') \int_0^\tau d\tau'' V(\tau'') \right| k \right\rangle \\
 &\quad \sum_{j=1}^{N_0} |j\rangle \langle j| \\
 &= \sum_{k=1}^{N_1} \sum_{j=1}^{N_0} \int_0^\tau d\tau' \langle k | \hat{V}(\tau') | j \rangle \int_0^\tau d\tau'' \langle j | \hat{V}(\tau'') | k \rangle \\
 &= \sum_{k=1}^{N_1} \sum_{j=1}^{N_0} \left| \int_0^\tau d\tau' \underbrace{\langle k | \hat{V}(\tau') | j \rangle}_{e^{iH_0\tau'/\hbar} e^{-iH_0\tau'/\hbar}} \right|^2 \\
 &\quad = \langle k | e^{iH_0\tau'/\hbar} \hat{V} e^{-iH_0\tau'/\hbar} | j \rangle = e^{i\omega_{kj}\tau'} \langle k | \hat{V} | j \rangle \\
 &= \sum_{k=1}^{N_1} \sum_{j=1}^{N_0} \left| \underbrace{\int_0^\tau d\tau' e^{i\omega_{kj}\tau'}}_{= 4 \sin^2 \left(\frac{\omega_{kj}\tau}{2} \right)} \right|^2 |\langle k | \hat{V} | j \rangle|^2 \\
 &= 4 \sum_{k=1}^{N_1} \sum_{j=1}^{N_0} \underbrace{\frac{\sin^2 \left(\frac{\omega_{kj}\tau}{2} \right)}{\omega_{kj}^2}}_{\approx \lambda^2 \text{ (gleich starke Kopp. aller Niveaus)}} |\langle k | \hat{V} | j \rangle|^2
 \end{aligned}$$

$\approx \text{Fläche} \times \text{Zustandsdichte im Zielband}$

$$= 4\lambda^2 \sum_{k=1}^{N_1} \frac{\pi\tau}{2} \left(\frac{t}{\hbar\delta\varepsilon} \right) = \frac{2\pi t \lambda^2 N_0 N_1}{\hbar\delta\varepsilon} \tau$$

$$\boxed{\text{Tr}_1 \{ U_1^2 \} = \text{Tr}_0 \{ U_1^2 \} = \frac{2\pi t \lambda^2 N_0 N_1}{\hbar\delta\varepsilon} \tau} \quad ⑥$$

6) Ratenegleichung: ⑥ in ⑤

$$P_1(\tau) - P_1(0) = - \frac{2\pi \lambda^2 N_0 N_1}{\hbar\delta\varepsilon} \left(\frac{P_1(0)}{N_1} - \frac{P_0(0)}{N_0} \right) \tau$$

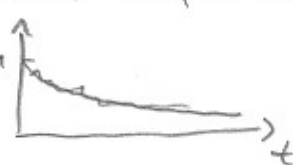
→ vom Differenzenquotient zum Differentialquotient

$$\frac{dP_1}{dt} = - \frac{2\pi \lambda^2}{\hbar\delta\varepsilon} (N_0 P_1 - N_1 P_0) \quad ⑦$$

$$\frac{dP_0}{dt} = - \frac{2\pi \lambda^2}{\hbar\delta\varepsilon} (N_1 P_0 - N_0 P_1)$$

→ Lösung des DGL-Systems liefert exponentiellen Zerfall ins Gleichgewicht: (für $P_1(0) = 1$)

$$P_1(t) = \frac{1}{N_0 + N_1} \left(N_1 + \exp \left\{ -\frac{2\pi \lambda^2}{\hbar\delta\varepsilon} (N_0 + N_1) t \right\} \right)$$



B) WÄRMELEITUNG: PRL 95, 180602 (2005); PRE 73, 016101 (2006)

Wird ein Festkörper auf einer Seite erhitzt und auf der anderen gekühlt findet man einen linearen Temperaturgradienten im Material. Fourier fand heraus, dass der Wärmestrom \dot{Q} durch das Material fließt, dann prop. zu diesem Gradienten ist d.h.

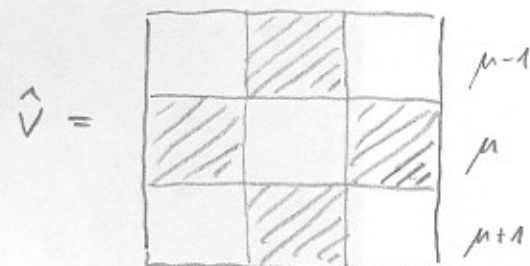
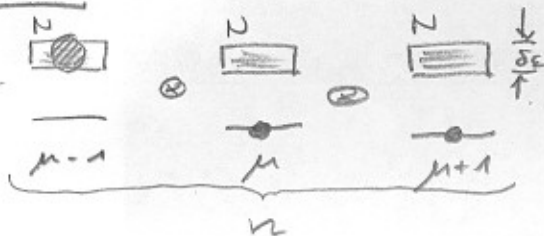
$$\dot{Q} = -k \nabla T \quad (\text{Fourier Gesetz})$$

mit der Wärmeleitfähigkeit k eine reine Materialkonstante.

Betrachtet man nun ein System, dass nicht geheizt bzw. gekühlt wird, sondern anfangs in einem Nichtgleichgewichtszustand startet und dann ins globale Gleichgewicht zerfällt sollte auch die Wärmeleitfähigkeit k eine entscheidende Rolle spielen.

Bei dem im Folgenden betrachteten Fällen werden keine Phononen und deren Umklapp-Prozess benötigt um normale Wärmeleitung zu erhalten. Alleine durch die vergrößerte Bewegung eines mechanischen Systems findet man diffusives Verhalten.

1) Modell:



Eindimensionale Untereinheiten ... Theorie offener Quantensysteme
Coarse Graining ... wir interessieren uns nur für die Ausgangswahrscheinlichkeit einer Untereinheit

2) Reduziertes Modell: nur zwei Untereinheiten

$$\begin{matrix} \downarrow & \Delta E & \uparrow \\ \Delta E & \hline & \Delta E \\ \downarrow & \uparrow & \uparrow \end{matrix} \Rightarrow \hat{V} = \begin{matrix} & & \\ & \diagdown & \diagup & \\ & \diagup & \diagdown & \\ & \diagdown & \diagup & \\ & \diagup & \diagdown & \\ & \diagdown & \diagup & \end{matrix} \Rightarrow \text{Hamiltonian ist genau gleich wie für Relaxation}$$

⇒ alles kann von oben übernommen werden

$$\frac{dP_1}{dt} = -k(P_1 - P_2)$$

$$\frac{dP_2}{dt} = -k(P_2 - P_1)$$

$$\text{mit } k = \frac{2\pi Z^2 N}{t \Delta E}$$

3) Wärmestrom:

Innere Energie einer Untereinheit: $U_\mu = \Delta E P_\mu$

$$\text{Energiestrom: } J = \frac{1}{2} \left(\frac{dU_2}{dt} - \frac{dU_1}{dt} \right)$$

$$= \frac{\Delta E}{2} \left(\frac{dP_2}{dt} - \frac{dP_1}{dt} \right)$$

4) Fourier-Gesetze:

Verwendung der Ratengleichung:

$$J = -K \Delta E (P_2 - P_1)$$

$$\text{Fourier Gesetze der Energie: } J = -K \underbrace{(U_2 - U_1)}_{\text{Energiegradient}}$$

für echten Wärmetransport braucht man einen thermischen Anfangszustand mit kleinem Temperaturunterschied ΔT zwischen den Systemen

$$J_{th} = -K_{th} \Delta T$$

man findet für die Wärmeleitfähigkeit:

$$K_{th} = c K \quad \text{mit } c \text{ spez. Wärme des } \mu\text{-ten Systems}$$

5) Mehr Untereinheiten:

a) Wechselwirkungs bild \rightarrow Struktur von \hat{V} bleibt erhalten

b) Dyson - Kurzzeitentwicklung

c) Wahrscheinlichkeit im μ -ten System

$$P_\mu(\tau) = \langle \psi(\tau) | \hat{P}_\mu | \psi(\tau) \rangle = \langle \psi(0) | \hat{D}^+ \hat{P}_\mu \hat{D} | \psi(0) \rangle$$

$$\hat{D}^+ \hat{P}_\mu \hat{D} = \hat{P}_\mu - \frac{i}{\hbar} (\hat{P}_\mu \hat{U}_1 - \hat{U}_1 \hat{P}_\mu) - \frac{1}{\hbar^2} (\hat{P}_\mu \hat{U}_2 - \hat{U}_1 \hat{P}_\mu \hat{U}_1 + \hat{U}_2 \hat{P}_\mu)$$

d) Vertauschen der Operatoren:

$$\hat{U}_1 \hat{P}_\mu = (\hat{P}_{\mu-1} + \hat{P}_{\mu+1}) \hat{U}_1$$

$$\hat{P}_\mu \hat{U}_2 = \hat{U}_2 (\hat{P}_\mu + \hat{P}_{\mu+2} + \hat{P}_{\mu-2})$$

e) Hilbertraummittel: Terme 1. Ordnung verschwinden

$$P_\mu(\tau) \approx P_\mu(0) - \frac{2}{\hbar^2} [\langle \psi(0) | \hat{P}_\mu \hat{U}_1^2 \hat{P}_\mu | \psi(0) \rangle]$$

$$+ \frac{1}{\hbar^2} \left([\langle \psi(0) | \hat{P}_{\mu+1} \hat{U}_1^2 \hat{P}_{\mu+1} | \psi(0) \rangle] + [\langle \psi(0) | \hat{P}_{\mu-1} \hat{U}_1^2 \hat{P}_{\mu-1} | \psi(0) \rangle] \right)$$

f) Verwendung von Formel ①:

$$P_m(\tau) - P_m(0) = -\frac{2}{t^2} \frac{P_m(0)}{N} \text{Tr}_p \{ U_1^2 \}$$

$$+ \frac{1}{t^2} \left(\frac{P_{m+1}(0)}{N} \text{Tr}_{p+1} \{ U_1^2 \} + \frac{P_{m-1}(0)}{N} \text{Tr}_{p-1} \{ U_1^2 \} \right)$$

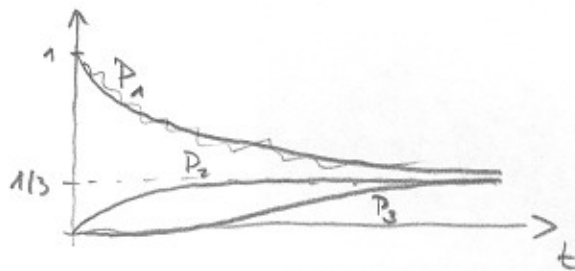
g) Fermis Goldene Regel

h) DGL-System

$$\frac{dP_1}{dt} = -\kappa (P_1 - P_2)$$

$$\frac{dP_\mu}{dt} = -\kappa (2P_\mu - P_{\mu+1} - P_{\mu-1}) \quad \mu=2, \dots, n-1$$

$$\frac{dP_n}{dt} = -\kappa (P_n - P_{n-1})$$



MERKSÄTZE:

- 1) Die statische Hilbertraum-Hilfsmethode lässt sich auf dynamische Fragestellungen erweitern. Hier können Relaxationen und Transport mit der gleichen Methode behandelt werden und scheinen ähnlichen physikalischen Prinzipien zu gehorchen.
- 2) Man erhält statistisches Relaxationsverhalten (exponentiellen Zerfall ins Gleichgewicht und diffusiven Transport) direkt aus der Schrödingergleichung für eine Klasse an Modellsystemen ohne weitere Annahmen. Alleine die vergrößerte Betrachtungsweise (Coarse Graining) im Ortsraum reicht um Irreversibilität in die mesoskopischen Dynamik (Rategleichung) zu manifestieren.
- 3) Aus obigen Behauptungen ist gezeigt, dass Fourier's Gesetze der Wärmeleitung direkt aus der Schrödingerschen Quantenmechanik folgt. Die Wärmeleitfähigkeit ist dann eine Größe die nur von mesoskopischen Parametern des Systems abhängt.